

コンピュータ・グラフィクスと数量化理論を応用した橋梁の維持点検評価法

森 弘*・大島俊之**・三上修一***・天野政一****
井上 実*****

橋梁の維持点検データに基づいて健全度を診断する手法として数量化理論とコンピュータ・グラフィクスを組み合わせた解析方法を提案した。橋梁健全度の総合評価を機能的評価と物理的評価に大別し、機能的健全度評価においては幅員、線形、交通混雑度など7項目のアイテム、また物理的健全度評価においては主部材、床版など17項目のアイテムを設定して数量化理論による解析を行っている。またコンピュータ・グラフィクスの3D Rotation法を用いて評価の解析結果を明確に表示できることを示した。

Key Words: bridge integrity, maintenance inspection, quantification method, computer graphics

1. はじめに

戦後、昭和20年代に架設された橋梁は供用後40年以上を経過しており、全体としては、ほぼ改築されたものが多く、現在は昭和30年代に建設された橋梁に対する維持管理のための検討事例が多くなってきている。昭和30年代における道路橋示方書や道路構造令の規定内容とその後の改正の経緯から明らかなように、日本の高度経済成長期の社会情勢の変化に伴う橋梁を取りまく環境の大きな変化は、橋梁の維持管理技術に多大な影響を及ぼしてきた。さらに高速道路、国道および地方道のそれぞれにかけられた橋梁の維持管理のための判断基準は、道路の性格の違いから自ずと各道路管理者ごとの判断基準に基づいて実施されているので、橋梁の重要度、地域性などに応じてその判断基準が多少異なって当然であるが、具体的評価基準が統一されてはいない。しかし21世紀に向けて先駆的な道路技術開発を目指す中で¹⁾、橋梁の維持管理の高度化をはかり、橋梁のマネジメントシステムの構築を図ることは重要な検討項目と考えられるようになってきた。すなわち「橋梁の健全度」を評価し、その結果を補修、補強工事に活用する必要性の増加する中で、橋梁の健全度評価手法を基準化する必要性が生じてきた。すなわち、橋梁の点検データに基づいてそれを総合的健全度として定量的に評価する手法を確立し、統一しておくことが必要である。

しかし「橋梁が健全である」とはいかなる状態を意味するのであろうか。

一般的考察として健全な橋梁とは

- ① 道路と一体となった平面線形を持ち、交通をスムーズに流すことが出来ること。
- ② 交通需要に対して充分な耐荷力を持つこと。
- ③ 交通需要に見合った幅員構成となっていること。
- ④ 河川の洪水時にもしっかりと耐える下部構造と桁下余裕高を持っていること。
- ⑤ 環境に有害な振動、騒音等を発生しないこと。
- ⑥ くり返し荷重による局部破壊、応力集中のないこと。

など機能的な要件および物理的な要件を満たしている状態と考えられる。参考として小堀²⁾は構造物の寿命を「構造物として使用されてから何らかの理由により使用が停止されるまでの期間、あるいは構造物をこれ以上使用できない終わりの段階」と定義し、次の三つに分類している³⁾。

- ① 物理的寿命
- ② 機能的寿命
- ③ 経済的寿命

このうち、経済的寿命については経済的寿命に至るほど、維持修費のかかる橋梁は物理的寿命に達していると判断され、統計上もそのように分類されることが多いので、本論文では経済的要因を物理的要因に統合する。その上で橋梁の総合的健全度を機能的健全度と物理的健全度に大別して、以下検討することとする。

さて、これまでの実際の現場におけるエキスパートの点検および維持管理に対する判断は、相対的、主観的な判断が多く、これをより適確なものにするため、Fuzzy理論やエキスパートシステムの活用など多くの研究が行われてきた^{4)~7)}。またエキスパートの判断と実際の橋梁の耐荷力不足など客観的事実とを結びつける研究も行われている^{17), 18)}。

本来、維持・点検の技術は実験による裏づけや過去の

* 正会員 工修 北見工業大学助教授 工学部土木開発工学科

(〒090 北見市公園町165)

** 正会員 工博 北見工業大学教授

*** 正会員 北見工業大学助手

**** JR 東海建設

***** 札幌市役所

補修事例を参考データとして判断できることが望ましいが、最近までこれらに関するデータの集積が充分でなかったため、判断基準があいまいで統一されていないと言われてきた。しかし、損傷事例および補修効果データの蓄積^{8),9)}および疲労などの判定指針¹⁰⁾が出版されるなど徐々に維持点検技術は統一的基準で実施できる方向へ向かっている。したがって、将来この維持点検技術が基準統一されるまでは個々の事例に対する判断をより客観的かつ定量的に実施するための手法が必要である。

ここで用いる数量化理論の手法はエキスパートによる判断データがより多く蓄積されれば客観的判断に近づくと言われている¹¹⁾ので、ここではこの手法を用いることにして、エキスパートの総合的判断ができるだけ定量的かつ客観的判断に近づけることを意図して、エキスパートの個々の判断およびそれらの個々の判断と全体的・総合的判断との関係に着目して検討を行っている。

本論文の特色はこの数量化理論の解析とコンピュータ・グラフィクスの3D Rotation技術を組み合わせて、個々の当該する橋梁に対する維持管理の判断を明確にし、可視化して判断できるシステムを開発した点にある。また、本論文では主として道路橋を想定した解析を行っている。

2. 機能的健全度評価

現場のエキスパートの維持管理の技術判断にばらつきがある主要な原因是、この機能的健全度の判断に際して多くの要因があり、統一的基準や参考事例などの判断に必要な資料が不足している点があげられる。しかし、文献¹²⁾にもあるように道路橋、鉄道橋とも機能的要因により架替えられるケースが物理的要因より多いことから、この機能的要因を何らかの手法で定量的かつ客観的に判断する必要性が強いと思われる。

著者らの機能的健全度評価の考え方および解析結果の一例については文献¹³⁾において示しているのでここではそれに基づき簡単に説明する。著者らは橋梁の機能的健全度を評価する上で橋梁の機能に最も関係の深い因子として交通量を取り出し、これを基本尺度とした。そしてこの交通量と他の機能的項目の現況とを比較することによりその項目の機能的適切度を判定し、健全度の評価をすることとする。交通量の特性を示す指標としては

- ① 12時間交通量
- ② 24時間交通量
- ③ 大型車両混入率

などがあるが、ここでは12時間交通量を用いる。

その他橋梁の機能的健全度に影響を及ぼすと思われる項目を抽出して表-1のような機能的点検調査表を作成してそれぞれのデータの収集を行った。

このデータ収集においては、ある限定した地域の昭和

表-1 機能的点検表

種別 中央大橋		路線番号 4070	路線名 上武利久瀬布橋
道路構造令に準じる路線の規格			
道路区分	3種 4級	計画交通量	2050台/日
渋滞の種類	進退	設計速度	40km/h
交通実態(年)			
平日12時間交通量	台	1733台	
「(大型車類)」	台	235台	
大型車類混入度	%	14%	
休日12時間交通量	台	1303台	
「(大型車類)」	台	78台	
大型車類混入度	%	6%	
河川・地形			
① 車線数	2	河川名	湯別川
車道幅員	5.5m	計画済流量	m/s
歩道幅員	0.5m	計画済年数	年
歩道幅員	2.5m	河川改修の済・未	未
直・斜・曲	直	河川改修計画の有・無	無
始点側 終点側		河床変動	
車線数	2	多孔理的無効合計率	0.00
車道幅員	5.5m	数量化目標による判定	△
歩道幅員	0.5m	重み付けによる判定	5.00
歩道幅員	6.5m	総合評価	
曲線半径	m		
橋梁周辺の地形状態			
備考			
架換計画: 架換計画有り 架換年数: H10～14 架換理由: 道路2次改築			

30年代およびそれ以前に建設された道路橋を対象とした。そして、現在架換計画が有るか、無いかを含めて調査し、機能的要因と寿命との関係を関連づける解析を行った。

(1) 数量化理論II類¹³⁾による解析

アイテムとしては

- ① 車線幅員
- ② 路肩幅員
- ③ 歩道幅員
- ④ 道路橋梁幅員差
- ⑤ 線形状態
- ⑥ 河川改修計画
- ⑦ 交通混雑度

の7項目を表-1の点検表から選定した。カテゴリーについて、まず、アイテム①, ②, ③, ④の幅員に関する項目においては当該する道路の理想的な種別等級を決定し、それに該当する幅員構成をまず設定して、その理想値から現況はどの程度少ないかを尺度として表-2のようにカテゴリーの範囲を決めている。アイテム⑤の線形状態では曲線部の方向転換の角度を尺度に4段階に分けている。アイテム⑥の河川改修計画については計画の有無の他にすでに改修が終了しているか否かも含めて3段階とした。さらに、アイテム⑦の交通混雑度は

(日交通量)/(設計基準交通量)

の比を尺度にとって3段階にカテゴリーを分類した。また、橋梁の機能的健全度に関する外的基準としては寿命との関係を考慮して一般に

- 1) 現状維持および機能低下の監視継続
- 2) 機能の再点検評価の必要有り(部分的改修)
- 3) 機能停止(補修、改築)

表-2 機能的評価の解析結果

アイテム	カテゴリー	度数	カテゴリースコア	範囲(割合)	偏相関係数(割合)
車線幅員 (m)	0.00~ -0.25~0.00 -1.00~-0.25	15 9 8	-1.16195 0.37264 1.75943	2.92138 (37.14) (26.79)	0.74904
路肩幅員 (m)	0.00~ -0.25~0.00 -0.50~-0.25	4 7 21	0.61238 -0.81416 0.15474	1.42654 (18.14) (18.42)	0.51496
歩道幅員 (m)	0.00~ -2.00~0.00	18 14	-0.14211 0.18271	0.32482 (4.13) (6.57)	0.18358
道路橋梁 幅員差 (m)	~0.00 0.00~0.50 0.50~	17 10 5	0.59912 -0.58106 -0.87469	1.47401 (18.74) (19.55)	0.54654
線形状態 (°)	180 150~180 135~150 ~135	13 7 7 5	0.11260 -0.41519 0.44846 -0.33933	0.86365 (10.98) (13.04)	0.36445
河川改修 計画	済 有り 無し	7 3 22	-0.23715 0.06804 0.06618	0.30519 (3.88) (4.99)	0.13963
混雑度	0.50~ 0.25~0.50 0.00~0.25	11 9 12	-0.35232 0.19704 0.17518	0.54936 (6.98) (10.64)	0.29750
外的基準	1 2	12 20	-1.06573 0.63944	相関比 = 0.68146	

外的基準 1: 架換計画のないもの
2: 架換計画のあるもの、もしくは架換中のもの

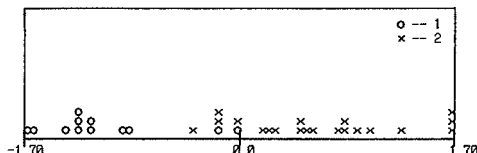


図-1 機能的評価の散布図

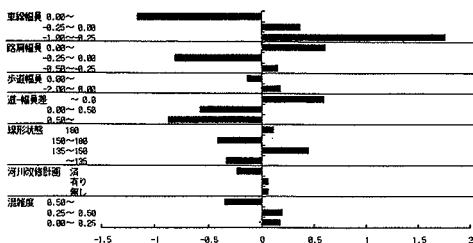


図-2 機能的評価のカテゴリー・スコア

などに分類されると思われるが、ここでは1)と2)を広い意味の現状維持と考えて

- ① 架換計画のないもの
 - ② 架換計画のあるものまたは架換中のもの
- の2分類とした。総データ数は32橋である。

(2) 解析結果

表-2の右側の欄には解析結果のカテゴリー・スコア、カテゴリー・スコアの範囲、偏相関係数を示している。また、解析の相関比は0.68146である。外的基準①、②にそれぞれ○印、×印を当てはめたヒストグラムを図-1に示しているが、ほぼ判別境界が明確である。図-2および図-3にはそれぞれ表-2のカテゴリー・スコアおよびアイテムレンジ(範囲)を棒グラフに示している。これらの結果からカテゴリー分類が適当であったこと、および各アイテムの全体評価に占める重みが明らかとなり、車線幅員、道路と橋梁の幅員差などが卓越する結果となった。一般に交通の混雑度および線形状態の良否が橋梁の健全度に関係が深いと思われるが、ここで用いた

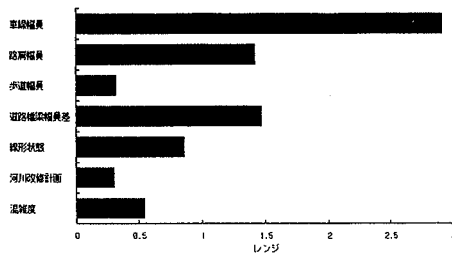


図-3 機能的評価のアイテム・レンジ

表-3 物理的点検表

種別	項目	判定基準	
		判定基準	判定結果
地盤	点検月日	定期点検実施月日	
構造	構造形式	主筋筋材S4	-
構造	構造形式	主筋筋材S5	-
構造	構造形式	主筋筋材S6	-
構造	構造形式	主筋筋材S7	-
構造	構造形式	主筋筋材S8	-
構造	構造形式	主筋筋材S9	-
構造	構造形式	主筋筋材S10	-
構造	構造形式	主筋筋材S11	-
構造	構造形式	主筋筋材S12	-
構造	構造形式	主筋筋材S13	-
構造	構造形式	主筋筋材S14	-
構造	構造形式	主筋筋材S15	-
構造	構造形式	主筋筋材S16	-
構造	構造形式	主筋筋材S17	-
構造	構造形式	主筋筋材S18	-
構造	構造形式	主筋筋材S19	-
構造	構造形式	主筋筋材S20	-
構造	構造形式	主筋筋材S21	-
構造	構造形式	主筋筋材S22	-
構造	構造形式	主筋筋材S23	-
構造	構造形式	主筋筋材S24	-
構造	構造形式	主筋筋材S25	-
構造	構造形式	主筋筋材S26	-
構造	構造形式	主筋筋材S27	-
構造	構造形式	主筋筋材S28	-
構造	構造形式	主筋筋材S29	-
構造	構造形式	主筋筋材S30	-
構造	構造形式	主筋筋材S31	-
構造	構造形式	主筋筋材S32	-
構造	構造形式	主筋筋材S33	-
構造	構造形式	主筋筋材S34	-
構造	構造形式	主筋筋材S35	-
構造	構造形式	主筋筋材S36	-
構造	構造形式	主筋筋材S37	-
構造	構造形式	主筋筋材S38	-
構造	構造形式	主筋筋材S39	-
構造	構造形式	主筋筋材S40	-
構造	構造形式	主筋筋材S41	-
構造	構造形式	主筋筋材S42	-
構造	構造形式	主筋筋材S43	-
構造	構造形式	主筋筋材S44	-
構造	構造形式	主筋筋材S45	-
構造	構造形式	主筋筋材S46	-
構造	構造形式	主筋筋材S47	-
構造	構造形式	主筋筋材S48	-
構造	構造形式	主筋筋材S49	-
構造	構造形式	主筋筋材S50	-
構造	構造形式	主筋筋材S51	-
構造	構造形式	主筋筋材S52	-
構造	構造形式	主筋筋材S53	-
構造	構造形式	主筋筋材S54	-
構造	構造形式	主筋筋材S55	-
構造	構造形式	主筋筋材S56	-
構造	構造形式	主筋筋材S57	-
構造	構造形式	主筋筋材S58	-
構造	構造形式	主筋筋材S59	-
構造	構造形式	主筋筋材S60	-
構造	構造形式	主筋筋材S61	-
構造	構造形式	主筋筋材S62	-
構造	構造形式	主筋筋材S63	-
構造	構造形式	主筋筋材S64	-
構造	構造形式	主筋筋材S65	-
構造	構造形式	主筋筋材S66	-
構造	構造形式	主筋筋材S67	-
構造	構造形式	主筋筋材S68	-
構造	構造形式	主筋筋材S69	-
構造	構造形式	主筋筋材S70	-
構造	構造形式	主筋筋材S71	-
構造	構造形式	主筋筋材S72	-
構造	構造形式	主筋筋材S73	-
構造	構造形式	主筋筋材S74	-
構造	構造形式	主筋筋材S75	-
構造	構造形式	主筋筋材S76	-
構造	構造形式	主筋筋材S77	-
構造	構造形式	主筋筋材S78	-
構造	構造形式	主筋筋材S79	-
構造	構造形式	主筋筋材S80	-
構造	構造形式	主筋筋材S81	-
構造	構造形式	主筋筋材S82	-
構造	構造形式	主筋筋材S83	-
構造	構造形式	主筋筋材S84	-
構造	構造形式	主筋筋材S85	-
構造	構造形式	主筋筋材S86	-
構造	構造形式	主筋筋材S87	-
構造	構造形式	主筋筋材S88	-
構造	構造形式	主筋筋材S89	-
構造	構造形式	主筋筋材S90	-
構造	構造形式	主筋筋材S91	-
構造	構造形式	主筋筋材S92	-
構造	構造形式	主筋筋材S93	-
構造	構造形式	主筋筋材S94	-
構造	構造形式	主筋筋材S95	-
構造	構造形式	主筋筋材S96	-
構造	構造形式	主筋筋材S97	-
構造	構造形式	主筋筋材S98	-
構造	構造形式	主筋筋材S99	-
構造	構造形式	主筋筋材S100	-
構造	構造形式	主筋筋材S101	-
構造	構造形式	主筋筋材S102	-
構造	構造形式	主筋筋材S103	-
構造	構造形式	主筋筋材S104	-
構造	構造形式	主筋筋材S105	-
構造	構造形式	主筋筋材S106	-
構造	構造形式	主筋筋材S107	-
構造	構造形式	主筋筋材S108	-
構造	構造形式	主筋筋材S109	-
構造	構造形式	主筋筋材S110	-
構造	構造形式	主筋筋材S111	-
構造	構造形式	主筋筋材S112	-
構造	構造形式	主筋筋材S113	-
構造	構造形式	主筋筋材S114	-
構造	構造形式	主筋筋材S115	-
構造	構造形式	主筋筋材S116	-
構造	構造形式	主筋筋材S117	-
構造	構造形式	主筋筋材S118	-
構造	構造形式	主筋筋材S119	-
構造	構造形式	主筋筋材S120	-
構造	構造形式	主筋筋材S121	-
構造	構造形式	主筋筋材S122	-
構造	構造形式	主筋筋材S123	-
構造	構造形式	主筋筋材S124	-
構造	構造形式	主筋筋材S125	-
構造	構造形式	主筋筋材S126	-
構造	構造形式	主筋筋材S127	-
構造	構造形式	主筋筋材S128	-
構造	構造形式	主筋筋材S129	-
構造	構造形式	主筋筋材S130	-
構造	構造形式	主筋筋材S131	-
構造	構造形式	主筋筋材S132	-
構造	構造形式	主筋筋材S133	-
構造	構造形式	主筋筋材S134	-
構造	構造形式	主筋筋材S135	-
構造	構造形式	主筋筋材S136	-
構造	構造形式	主筋筋材S137	-
構造	構造形式	主筋筋材S138	-
構造	構造形式	主筋筋材S139	-
構造	構造形式	主筋筋材S140	-
構造	構造形式	主筋筋材S141	-
構造	構造形式	主筋筋材S142	-
構造	構造形式	主筋筋材S143	-
構造	構造形式	主筋筋材S144	-
構造	構造形式	主筋筋材S145	-
構造	構造形式	主筋筋材S146	-
構造	構造形式	主筋筋材S147	-
構造	構造形式	主筋筋材S148	-
構造	構造形式	主筋筋材S149	-
構造	構造形式	主筋筋材S150	-
構造	構造形式	主筋筋材S151	-
構造	構造形式	主筋筋材S152	-
構造	構造形式	主筋筋材S153	-
構造	構造形式	主筋筋材S154	-
構造	構造形式	主筋筋材S155	-
構造	構造形式	主筋筋材S156	-
構造	構造形式	主筋筋材S157	-
構造	構造形式	主筋筋材S158	-
構造	構造形式	主筋筋材S159	-
構造	構造形式	主筋筋材S160	-
構造	構造形式	主筋筋材S161	-
構造	構造形式	主筋筋材S162	-
構造	構造形式	主筋筋材S163	-
構造	構造形式	主筋筋材S164	-
構造	構造形式	主筋筋材S165	-
構造	構造形式	主筋筋材S166	-
構造	構造形式	主筋筋材S167	-
構造	構造形式	主筋筋材S168	-
構造	構造形式	主筋筋材S169	-
構造	構造形式	主筋筋材S170	-
構造	構造形式	主筋筋材S171	-
構造	構造形式	主筋筋材S172	-
構造	構造形式	主筋筋材S173	-
構造	構造形式	主筋筋材S174	-
構造	構造形式	主筋筋材S175	-
構造	構造形式	主筋筋材S176	-
構造	構造形式	主筋筋材S177	-
構造	構造形式	主筋筋材S178	-
構造	構造形式	主筋筋材S179	-
構造	構造形式	主筋筋材S180	-
構造	構造形式	主筋筋材S181	-
構造	構造形式	主筋筋材S182	-
構造	構造形式	主筋筋材S183	-
構造	構造形式	主筋筋材S184	-
構造	構造形式	主筋筋材S185	-
構造	構造形式	主筋筋材S186	-
構造	構造形式	主筋筋材S187	-
構造	構造形式	主筋筋材S188	-
構造	構造形式	主筋筋材S189	-
構造	構造形式	主筋筋材S190	-
構造	構造形式	主筋筋材S191	-
構造	構造形式	主筋筋材S192	-
構造	構造形式	主筋筋材S193	-
構造	構造形式	主筋筋材S194	-
構造	構造形式	主筋筋材S195	-
構造	構造形式	主筋筋材S196	-
構造	構造形式	主筋筋材S197	-
構造	構造形式	主筋筋材S198	-
構造	構造形式	主筋筋材S199	-
構造	構造形式	主筋筋材S200	-
構造	構造形式	主筋筋材S201	-
構造	構造形式	主筋筋材S202	-
構造	構造形式	主筋筋材S203	-
構造	構造形式	主筋筋材S204	-
構造	構造形式	主筋筋材S205	-
構造	構造形式	主筋筋材S206	-
構造	構造形式	主筋筋材S207	-
構造	構造形式	主筋筋材S208	-
構造	構造形式	主筋筋材S209	-
構造	構造形式	主筋筋材S210	-
構造	構造形式	主筋筋材S211	-
構造	構造形式	主筋筋材S212	-
構造	構造形式	主筋筋材S213	-
構造	構造形式	主筋筋材S214	-
構造	構造形式	主筋筋材S215	-
構造	構造形式	主筋筋材S216	-
構造	構造形式	主筋筋材S217	-
構造	構造形式	主筋筋材S218	-
構造	構造形式	主筋筋材S219	-
構造	構造形式	主筋筋材S220	-
構造	構造形式	主筋筋材S221	-
構造	構造形式	主筋筋材S222	-
構造	構造形式	主筋筋材S223	-
構造	構造形式	主筋筋材S224	-
構造	構造形式	主筋筋材S225	-
構造	構造形式	主筋筋材S226	-
構造	構造形式	主筋筋材S227	-
構造	構造形式	主筋筋材S228	-
構造	構造形式	主筋筋材S229	-
構造	構造形式	主筋筋材S230	-
構造	構造形式	主筋筋材S231	-
構造	構造形式	主筋筋材S232	-
構造	構造形式	主筋筋材S233	-
構造	構造形式	主筋筋材S234	-
構造	構造形式	主筋筋材S235	-
構造	構造形式	主筋筋材S236	-
構造	構造形式	主筋筋材S237	-
構造	構造形式	主筋筋材S238	-
構造	構造形式	主筋筋材S239	-
構造	構造形式	主筋筋材S240	-
構造	構造形式	主筋筋材S241	-
構造	構造形式	主筋筋材S242	-
構造	構造形式	主筋筋材S243	-
構造	構造形式	主筋筋材S244	-
構造	構造形式	主筋筋材S245	-
構造	構造形式	主筋筋材S246	-
構造	構造形式	主筋筋材S247	-
構造	構造形式	主筋筋材S248	-
構造	構造形式	主筋筋材S249	-
構造	構造形式	主筋筋材S250	-
構造	構造形式	主筋筋材S251	-
構造	構造形式	主筋筋材S252	-
構造	構造形式	主筋筋材S253	-
構造	構造形式	主筋筋材S254	-
構造	構造形式	主筋筋材S255	-
構造	構造形式	主筋筋材S256	-
構造	構造形式	主筋筋材S257	-
構造	構造形式	主筋筋材S258	-
構造	構造形式	主筋筋材S259	-
構造	構造形式	主筋筋材S260	-
構造	構造形式	主筋筋材S261	-
構造	構造形式		

表一四 損傷の種類とその略称

(a) 鋼橋		(b) コンクリート橋	
部材区分	損傷の種類	部材区分	損傷の種類
主部材 ・主桁	腐食（主1）	主部材 ・主桁	剥離（主1） ・剥離、鉄筋露出
	亜裂（主2） ・亜裂 ・破断		ひびわれ（主2）
	その他（主3） ・脱落 ・異常音 ・異常振動 ・異常たわみ		その他（主3） ・遊離石灰 ・鋼板接着部の損傷 ・漏水、滲水 ・異常振動 ・異常たわみ ・欠損
	腐食（補1）		剥離（補1） ・剥離、鉄筋露出
	亜裂（補2） ・亜裂 ・破断		ひびわれ（補2）
	その他（補3） ・脱落 ・変形		その他（補3） ・遊離石灰 ・鋼板接着部の損傷 ・漏水、滲水 ・欠損
床版 ・対横構 ・横構	剥離（床1） ・剥離、鉄筋露出	床版	剥離（床1） ・剥離、鉄筋露出
	ひびわれ（床2） ・床版ひびわれ		ひびわれ（床2） ・床版ひびわれ
	その他（床3） ・遊離石灰 ・抜け落ち ・鋼板接着部の損傷 ・漏水、滲水		その他（床3） ・遊離石灰 ・抜け落ち ・鋼板接着部の損傷 ・漏水、滲水
	剥離（床1） ・剥離、鉄筋露出		剥離（床1） ・剥離、鉄筋露出
	ひびわれ（床2） ・床版ひびわれ		ひびわれ（床2） ・床版ひびわれ
	その他（床3） ・遊離石灰 ・抜け落ち ・鋼板接着部の損傷 ・漏水、滲水		その他（床3） ・遊離石灰 ・抜け落ち ・鋼板接着部の損傷 ・漏水、滲水

表一五 橋梁健全度診査票

橋梁健全度診査票														
表 A-1 判定基準														
A: 現状維持する B: 軽い補修をする C: 大がかりな補修をする D: 補修より架換を勧める														
鋼 橋			上 部 部 位			下 部 部 位			支 承			構 造		
主部材	2次部材	床版	幅	高	厚	下部構	支承	構造	主	側	底	側	底	
OK	OK	OK	OK	OK	OK	OK	OK	OK	OK	OK	OK	OK	OK	
1	OK	IV	OK	II	III	OK	OK	IV	OK	OK	OK	OK	OK	
2	OK	II	OK	OK	OK	OK	OK	OK	OK	OK	OK	OK	II	
3	OK	OK	OK	OK	IV	OK	OK	OK	OK	IV	IV	OK	IV	
4	OK	OK	OK	OK	OK	OK	OK	IV	II	OK	OK	OK	II	
5	OK	OK	OK	OK	OK	OK	II	III	IV	OK	OK	OK	III	
6	OK	OK	IV	OK	OK	IV	OK	IV	OK	OK	IV	OK	IV	
7	OK	OK	II	OK	II	OK	II	IV	OK	OK	OK	OK	OK	
8	OK	OK	OK	OK	OK	II	OK	OK	OK	OK	OK	OK	OK	
9	OK	OK	OK	OK	OK	IV	OK	OK	OK	OK	III	OK	IV	
10	OK	OK	OK	OK	OK	OK	III	IV	OK	OK	OK	OK	OK	

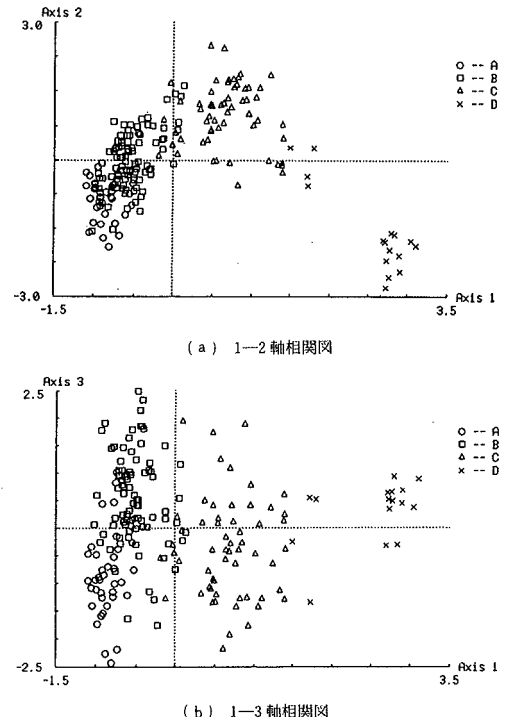
ここでは現場におけるエキスパートの判断をアンケートにより収集してその解析結果の中から客観的と思われる事実を抽出するとともに、その結果を現場で活用できる手法を提案する。

(1) シミュレーションデータによる解析

現場では数多くの橋梁点検データを有しているが、それをそのまま利用するとデータに片寄りが含まれる可能性がある。そこで、本論文では実際の橋梁の点検結果および補修改善の判定結果を参照しながら、実際に発見の可能性のある様々な仮想の老朽橋梁の点検データを表一五のように鋼橋 240 橋、コンクリート橋 240 橋、合計 480 橋分作成した。そして、維持管理に関する深い専門技術者 10 名を選考して

A : 現状維持

B : 軽い補修をする。



図一四 分析結果（鋼橋）

C : 大がかりな補修を要する。

D : 補修より架換を勧める。

の 4 分類により表一五の一番右の判定の欄に記入する方式によりエキスパートの判定データを収集した。依頼した専門技術者は道路維持管理担当技術職国家公務員（経験年数 15 年以上）2 名、道路建設担当技術職地方公務員（経験年数 10 年以上）2 名、橋梁設計コンサルタント技術者（経験年数 15 年以上）4 名、橋梁点検評価業務担当責任技術者（経験年数 10 年以上）2 名の合計 10 名となっている。

(2) 解析結果

本論文ではできるだけ点検評価の客観的判断結果を重視する立場から A, B, C, D の 4 分類の判断に大きなばらつきの見られるデータを特に慎重に検討した。このばらつきの見られたサンプル数は鋼橋について 38 橋、コンクリート橋分について 41 橋である。ここでは、まずこれらのばらつきの大きなデータを削除した解析結果を示すとともに、後にこれらのデータを含めたすべてのデータについての解析と比較することにする。まず、図一四および図一五はこれらのデータを除いたそれぞれ鋼橋 202 橋、コンクリート橋 199 橋に対する第 1-2 軸および第 1-3 軸の散布図を示している。いずれも D 判定は明確に分離しているとともに C 判定、B 判定間および A 判定間が重複している領域が見られる。

さらに同様の解析から得られた各アイテムへの重みに

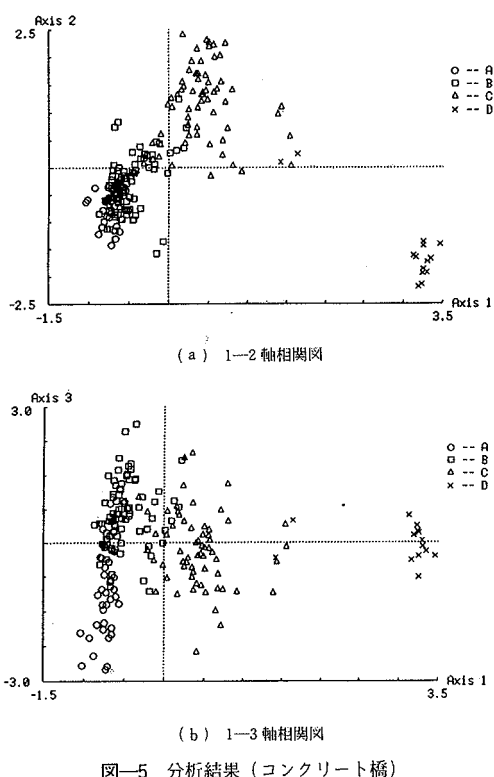


図-5 分析結果（コンクリート橋）

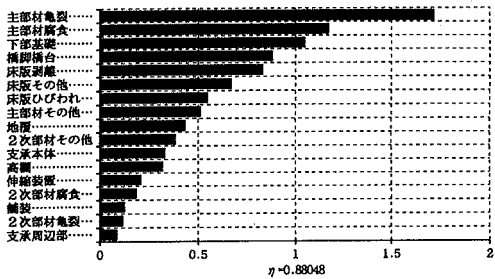


図-6 物理的評価のアイテム・レンジ (鋼橋, 一軸)

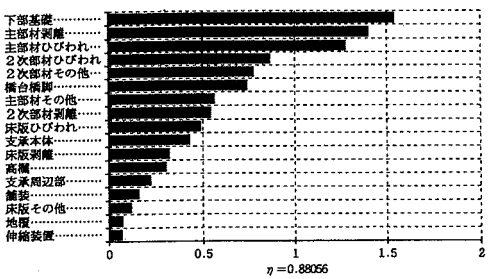


図-7 物理的評価のアイテム・レンジ (コンクリート橋, 一軸)

相当するアイテムレンジ(範囲)の割合(%)を鋼橋(202橋), コンクリート橋(199橋)に対してそれぞれ図-6および図-7に示している。これによれば1軸, 2軸, 3軸それぞれに相当する判定の際の各アイテムの重みの変

化が明らかとなっている。以上の結果は先に述べた削除したサンプルデータを加えても相関比が多少低くなるものの大きな変化は見られない。

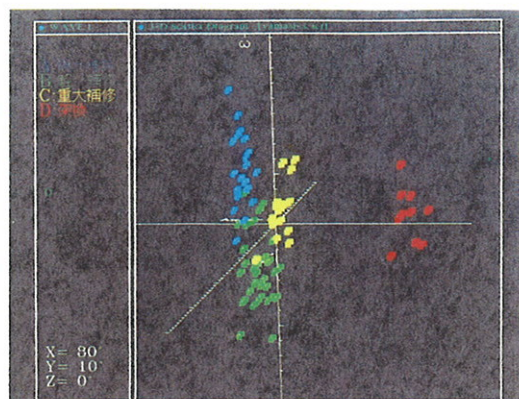
図-6 および図-7にはこの削除したサンプルデータを含めた鋼橋およびコンクリート橋それぞれ240橋に対して同様の計算を行い、第1軸に対するアイテム・レンジに優先順位をつけて示している。この場合相関比 η はいずれも0.88となっている。前述の図-6および図-7においてはいずれも0.90であった。これらの結果より各アイテムへの重視の度合は鋼橋では主部材の亀裂, 腐食, 下部構造など、コンクリート橋については下部, 主部材, 剥離, ひび割れなどの順となっており重みの数値とともに妥当な結果が得られている。

(3) コンピュータ・グラフィクスによる判定の可視化

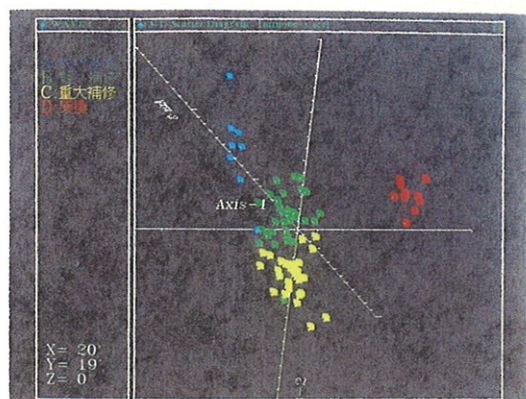
コンピュータ・グラフィクス(CG)の三次元回転表示(3D Rotation, 3DR)では空間的に配置された3次元のデータを座標軸とともに色彩のある画面上で回転させながら、物理的に有意なデータ構造を詳細に解析することが可能である。本論文では前項で延べた数量化理論の解析結果より得られた1軸, 2軸, 3軸に対する結果を3DRのX, Y, Z軸とみなし、A, B, C, Dの判定の違いを、青、緑、黄、赤に対応して表示する方法を用いている。図-8および図-9にはそれぞれ鋼橋およびコンクリート橋に対する結果を示している。

図-8(a), (b), (c), (d), (e)の5つの図には前述した10人の専門技術者のうち代表的な5名の鋼橋80橋に対する判定結果の散布状況を示している。5名の内訳は、前述の国家公務員(図-8(b)), 地方公務員(図-8(e)), コンサルタント技術者2名(図-8(c), (d)), 点検担当技術者(図-8(a))となっている。また図-8(f)にはこれらを総合化した240橋全体の散布状況を示している。これらの図は画面上で座標軸を3次元的に回転させながらデータ構造を観察し、最も分離状況が明確な角度で画像を停止して求めたものである。また、これらの図において回転角それ自身に工学的意味はないが、個々のデータの散布状況に応じて3次元的にデータ集合分布の分離性が明瞭となるコンピュータ・グラフィクス上の角度が存在している。同様にして図-9には、コンクリート橋について5名の80橋に対する判定結果を(a), (b), (c), (d), (e)に示しているとともに、全体の240橋に対する結果を図-9(f)に示している。いずれも判定結果が多少重複している部分も見られるものの全体としては明確に分離されている状況が明らかである。

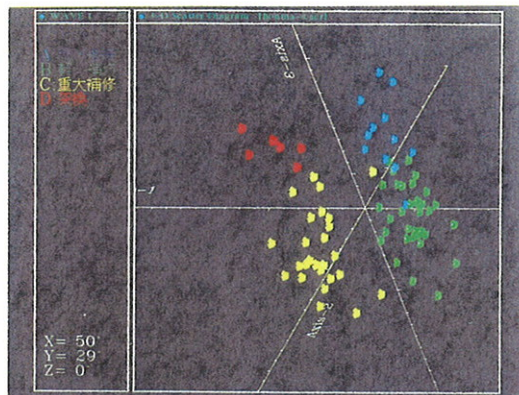
これらの解析内容が信頼性のあるものとして確立されたのちは、その後の個々の老朽橋梁の点検データと各アイテムに対する重みから計算されるサンプルスコアを画



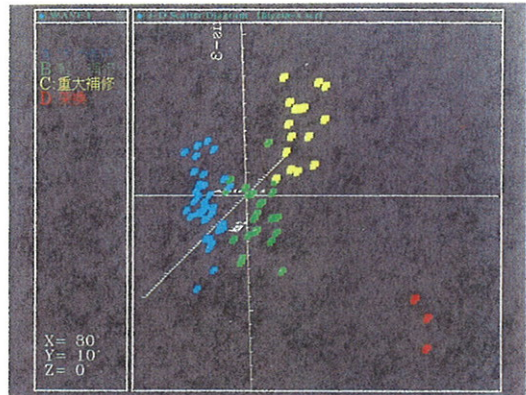
(a) $X=80^\circ$, $Y=10^\circ$, $Z=0^\circ$



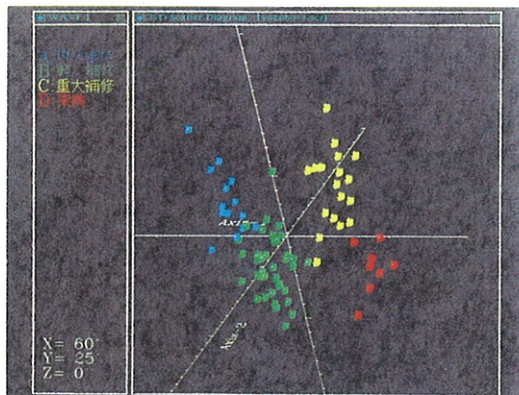
(b) $X=20^\circ$, $Y=19^\circ$, $Z=0^\circ$



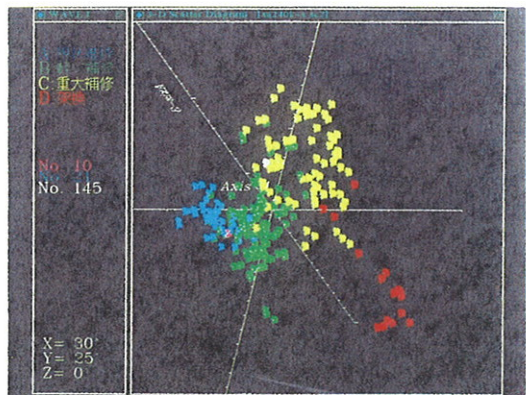
(c) $X=50^\circ$, $Y=29^\circ$, $Z=0^\circ$



(d) $X=80^\circ$, $Y=10^\circ$, $Z=0^\circ$



(e) $X=60^\circ$, $Y=25^\circ$, $Z=0^\circ$



(f) 240 橋 $X=30^\circ$, $Y=25^\circ$, $Z=0^\circ$

図-8 コンピュータグラフィクスによる判定の可視化
物理的評価のアイテム・レンジ（鋼橋）

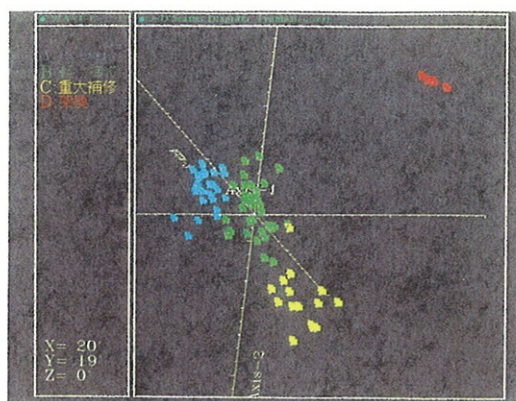
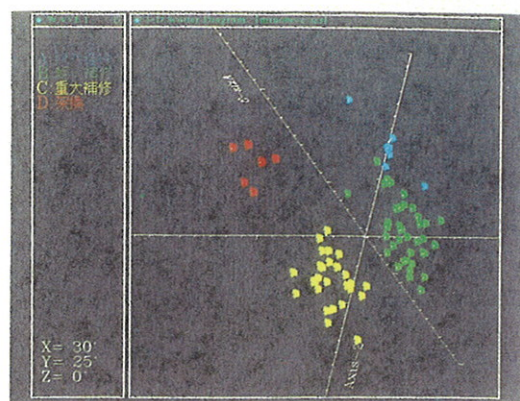
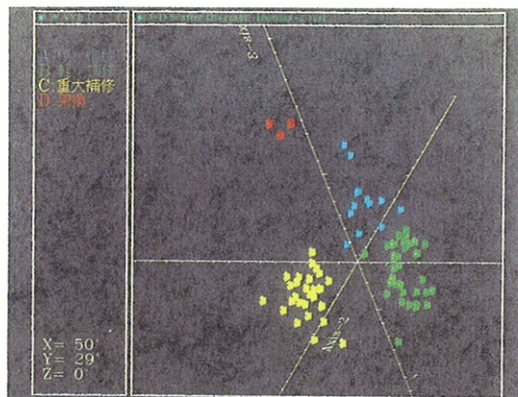
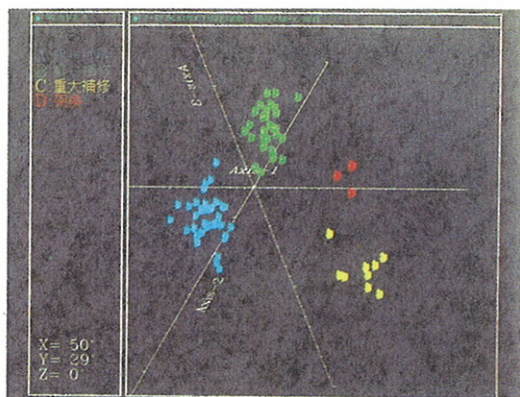
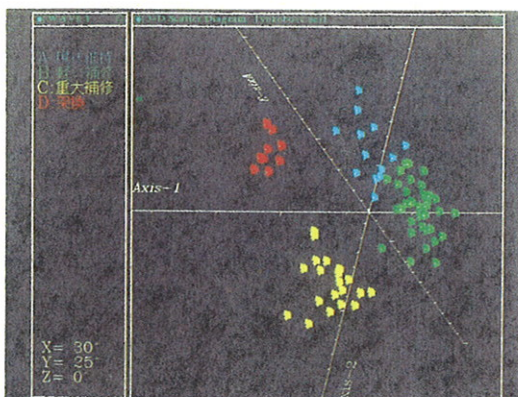
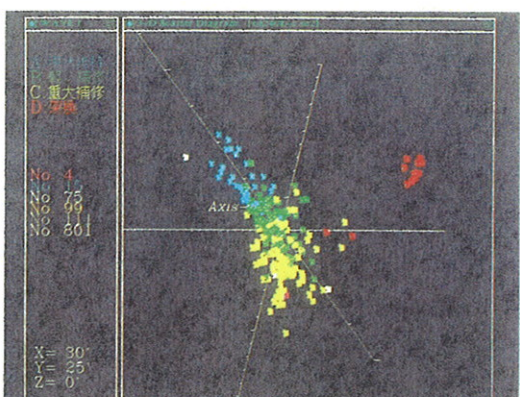
(a) $X=20^\circ$, $Y=19^\circ$, $Z=0^\circ$ (b) $X=30^\circ$, $Y=25^\circ$, $Z=0^\circ$ (c) $X=50^\circ$, $Y=29^\circ$, $Z=0^\circ$ (d) $X=50^\circ$, $Y=29^\circ$, $Z=0^\circ$ (e) $X=30^\circ$, $Y=25^\circ$, $Z=0^\circ$ (f) 240 橋 $X=30^\circ$, $Y=25^\circ$, $Z=0^\circ$ 図-9 コンピュータグラフィクスによる判定の可視化
物理的評価のアイテム・レンジ (コンクリート橋)

表-6 総合評価の解析結果

アイテム	カテゴリー	度数	カテゴリー・スコア	範囲(割合)	偏相関係数(割合)
車線幅員(m)	0.00～	15	-1.28551	3.11557	0.80431
	-0.25～0.00	9	0.51662	(32.33)	(23.13)
	-1.00～-0.25	8	1.82966		
路肩幅員(m)	0.00～	4	0.72818	1.51042	0.56453
	-0.25～0.00	7	-0.78224	(15.67)	(16.23)
	-0.50～-0.25	21	0.12205		
歩道幅員(m)	0.00～	18	-0.12324	0.28168	0.17904
	-2.00～0.00	14	0.15845	(2.92)	(5.15)
道路構築幅員差(m)	～0.00	17	0.67728	1.59689	0.62383
	0.00～0.50	10	-0.69158	(16.57)	(17.94)
	0.50～	5	-0.91960		
線形状態(°)	180	13	0.14807	0.64711	0.33424
	150～180	7	-0.30588	(6.71)	(9.61)
	135～150	7	0.28765		
	～135	5	-0.35945		
河川改修計画	淡有り無し	7	-0.08355	0.52846	0.18364
	有り	3	-0.44165	(5.48)	(5.28)
	無し	22	0.08681		
混雑度	0.50～	11	-0.43102	0.65221	0.40158
	0.25～0.50	9	0.25119	(7.08)	(11.65)
	0.00～0.25	12	0.20670		
物理的評価(II類評価)	A	26	-0.08305	1.27569	0.38633
	B	4	0.78513	(13.24)	(11.11)
	C	2	0.49057		
外的基準	1	12	-1.09742	相関比=0.72259	
	2	20	0.65845		

外的基準 1: 架換計画のないもの
2: 架換計画のあるもの、もしくは架換中のもの

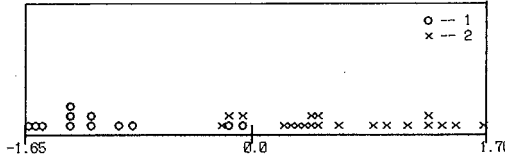


図-10 総合的評価の散布図

面の3次元空間上にプロットして、当該橋梁がA, B, C, D判定のどの分類に相当するかを直接視覚的に判断することができる。本研究では4章の物理的評価の項目判定の際にこれを用いている。

4. 橋梁点検の総合評価

2章および3章で述べた橋梁の点検の評価は機能的評価および物理的評価のいずれも数量化理論により各アイテムおよびカテゴリーの分類の妥当性は定量的に解析できた。しかし最終的に必要となる両者を総合化した橋梁点検の総合評価についてはあらかじめ想定できる明確なアイテムおよびカテゴリーの分類が存在せず、たとえかりに決定したとしても客観的なものとはなりにくい。また機能的評価と物理的評価を対等の重みで取り扱うか否かの判断も明確ではない。高速道路、国道、および地方道の道路の種類による違いや橋梁の重要度、地域性などによってもその重みの比率が異なるものと予想される。したがって本論文で示す結果はあくまでこれらの状況をふまえた上である程度仮定された条件に対する結果であるため、多少客観性に欠ける点を含むが、手法そのものを否定するものではない。すなわちここで決定したアイテムおよびカテゴリーの分類をより妥当なものに更新することができれば、解析結果の信頼性をより向上させることができると期待できる。ここでは文献³⁾より橋梁の寿命が機能的要因に主として支配されている点を重視して、数

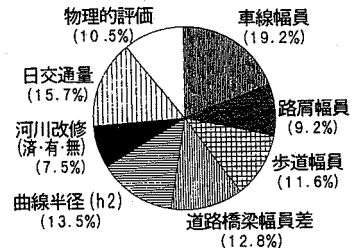


図-11 総合的寿命評価のアイテム別重み

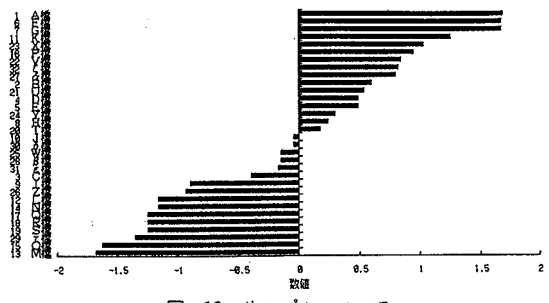


図-12 サンプル・スコア

量化理論を適用する際に、2章で用いた機能的評価に対するアイテムおよびカテゴリーの分類にさらに物理的評価のアイテムおよびカテゴリーを追加する方法で総合評価に対する解析を行った。したがって、2章と同様外的基準については2分類とした。また、用いた実橋のデータは2章と同じ32橋に対するものである。32橋に対する物理的評価はそれぞれの物理的項目に対する実際の評価値をもとに数量化理論のサンプル・スコアを計算し、これを3章で述べたA, B, C, Dの散布図にプロットして決定している。得られた解析結果を表-6および図-10、図-11に示している。これらの結果より総合評価に占める各項目の重みが明らかとなった。機能的評価項目で判断した場合は相関比が0.68であったが、物理的評価を含めた総合評価では、0.72に上がった。

また32橋について図-10に示した散布図のサンプル・スコアをソートして整理して示したものが図-12である。これにより架換の緊急性の順位が判定できる。くり返しになるが、以上の結果は数量化理論により橋梁点検の総合評価および緊急順位が定量的に得られることを示したもので、アイテムおよびカテゴリーが客観的に見て適切か否かは今後データ数の増加とともにさらに明らかとなるものと思われる。特に物理的評価の内容を上部構造および下部構造の二つの評価に分離するなどいくつかの異なるアイテムを設定することも可能である。

5. 結論

以上の検討結果より明らかとなった事項を要約すれば次のようになる。

- (1) 数量化理論Ⅱ類を用いて橋梁の機能的健全度を評価する解析を行った結果、機能的評価を行う上での妥当なアイテムの選定およびそれに対する重みが決定できた。
- (2) コンピュータ・グラフィクスと量化理論を組み合せて老朽橋梁のシミュレーション・データに基づく物理的健全度評価の解析を行った結果、点検評価の判定を合理的かつ視覚的に決定できた。
- (3) 機能的評価と物理的評価とを総合化する総合評価法として両者のアイテムを総合して量化理論を用いて合理的に評価できることを示した。これにより従来明確でなかった機能的因子と物理的因素の相対的重みの比率も決定できた。

以上の解析結果は本研究において得られた実際橋梁に対するデータとアンケート集計解析により得られたものであり、今後さらにデータ数を増加して解析手法を見直すとともに解析結果の信頼性を高める必要がある。また、本研究で提案した量化理論とコンピュータ・グラフィクスを用いる橋梁診断の手法は実際のデータ数が蓄積されればされるほど解析の信頼性が高まり有効と思われる。今後は良質なデータの収集に努力する予定である。

本研究では非常に多くの機関、方々に研究のご協力をいただきました。ここにお名前を掲載して感謝の意を表します。

阪神高速道路管理技術センター、北海道開発局道路維持課、建設機械工作所、開発土木研究所、北海道土木部道路課の各機関および北海道開発コンサルタント(株)、(株)構研エンジニアリング、(株)ズコーシャ、中神土木設計事務所の技術者の方々。

参考文献

- 1) 建設省道路局：道路技術5箇年計画、1993年6月。
- 2) 小堀為雄：土木構造物の耐用年数（耐用年数の定義）、土木学会誌、Vol.68, No.10, 1983.
- 3) 日本鋼構造協会：鋼構造物の寿命に関する調査、JSSC レポート、No.19, 1991.
- 4) 三上市藏、他：鋼橋疲労損傷の補修方法選定システムにおける知識の再利用、構造工学論文集、Vol.38 A, 1992.
- 5) 宮本文穂、他：コンクリート橋診断エキスパートシステムの開発と実用化、材料、1991.3.
- 6) 西川和廣・村越潤・山本悟司・杉山純：活荷重による橋梁上部構造の損傷と対策、土木技術資料、Vol.34-8, pp.58~65, 1992.
- 7) 古田均、他著：ブライ理論の土木工学への応用、森北出版、1992.
- 8) 岡田清・今井宏典監修、阪神高速道路管理技術センター編：損傷と補修事例にみる道路橋のメンテナンス、山海堂、1993.
- 9) 福本・北田・吉川・長沼・溝渕・岩崎：阪神高速道路における鋼構造物の維持管理の現状と展望、橋梁と基礎、Vol., 1993.3.
- 10) 日本鋼構造協会：鋼構造物の疲労設計指針・同解説、技報堂、1993.
- 11) 大橋・青山：土木計画への量化理論Ⅱ類適用の信頼度に関する実験的研究、土木学会論文集、第353号/I-2, 1985.
- 12) 森弘、他：橋梁の健全度診断における総合評価法の開発、鋼構造年次論文報告集、Vol.1, 1993.
- 13) 田中・垂水・脇本編：パソコン統計解析ハンドブックⅡ 多変量解析編、共立出版、1984.
- 14) 建設省土木研究所：橋梁点検要領(案)、土木研究所資料、第2651号、1988.
- 15) 阪神高速道路管理技術センター：阪神高速道路における点検マニュアル、1992.
- 16) 阪神高速道路公団：道路構造物の点検標準(土木構造物編)、1992.
- 17) 小間井・木俣・小堀：維持管理計画のための橋梁評価システムに関する基礎的研究、土木学会論文集、No.428/I-15, 1991.
- 18) 木俣・小間井：信頼性の経験的評価システムに基礎を置く補修計画のリスク認識に関する研究、土木学会論文集、No.464/IV-19, 1993.

(1993.11.25受付)

EVALUATION METHOD IN MAINTENANCE INSPECTION OF A BRIDGE BY MEANS OF COMPUTER GRAPHICS AND QUANTIFICATION THEORY

Hiroshi MORI, Toshiyuki OSHIMA, Shuichi MIKAMI, Seiichi AMANO and Minoru INOUE

Evaluation method in maintenance inspection of a bridge is proposed by applying a computer graphics and a quantification method in this paper. Total evaluation of a bridge integrity is divided into two sub-evaluations of mechanical and functional evaluation. Thirty two sets of data for actual bridges are used and the results in quantification analysis are shown in 3D rotation of computer graphics